

Problem plecakowy w 3D

1. Opis problemu

a. Treść zadania:

Dany jest zbiór prostopadłościanów $A = \{a_1, \dots, a_n\}$ – *pudełek* reprezentowanych przez klasę *Cuboid* oraz obszar prostopadłościenny o zadanych dwóch bokach nie mniejszych od największego z boków prostopadłościanów w zbiorze – dla naszych testów przyjmujemy, że będzie to kwadrat, reprezentowanych przez parę liczb całkowitych – *pojemnik* (klasa *Bin*). Należy wyznaczyć, stosując różne metody heurystyczne, a także przeszukiwanie systematyczne, najmniejszą długość trzeciego boku obszaru - *height* pozwalającą na rozmieszczenie ortogonalne bez kolizji zbioru w obszarze. Porównać czas obliczeń i wyniki różnych metod.

b. Black-box:

i. Wejście:

Program powinien przyjmować na wejściu początkowe przyjęte rozmiary pojemnika oraz kontener (strukturę danych) zawierający wymiary pudełek w postaci trójek liczb całkowitych (a, b, c) , które mają być uporządkowane w pojemniku.

ii. Wyjście:

Każdy z algorytmów musi zwrócić kontener zawierający niezmienione rozmiary pudełek (a, b, c) wraz z przyporządkowanymi im współrzędnymi środka pudełek (x, y, z) w pojemniku.

2. Algorytmy naiwne

a. Działanie algorytmu:

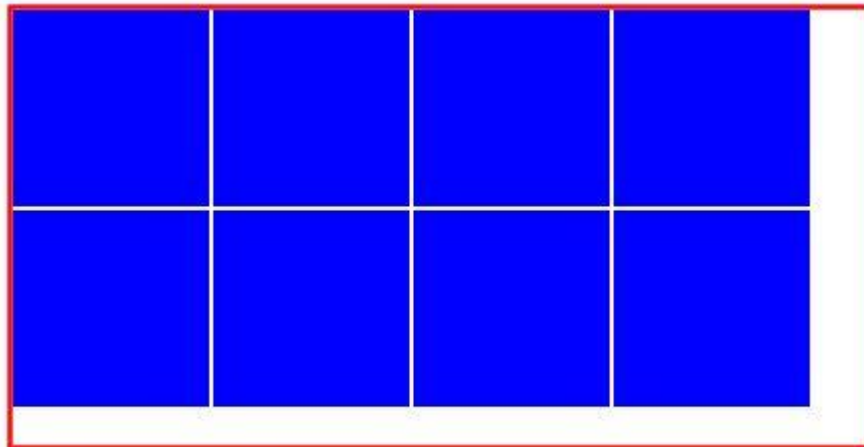
Krok 1)

Obróć wszystkie pudełka należące do zbioru A , tak aby ich współrzędna Z , czyli wysokość była minimalna: $\min(x, y, z)$.

Krok 2)

Przeszukaj wszystkie pudełka i znajdź 2 najdłuższe krawędzie x oraz y pudełek w całym zbiorze, tak aby każde pudełko zrzutowane ortogonalnie do 2D mogło się zmieścić obrębie prostokąta o bokach x i y . W celu zminimalizowania prostokąta można dokonać obrotu o pudełka o 90 w płaszczyźnie Z (zamiana x i y miejscami)

Krok 3)



Pojemnik: 43x22 Prostokąty: 10x10

Udało się zmieścić 8 prostokątów

Podziel powierzchnię podstawy na obliczone prostokąty w punkcie 2). Celem jest uzyskanie jak największej liczby k takich prostokątów.

Krok 4)

Wybieramy i -ty prostokąt.

Krok 5)

Wkładamy tam pierwsze z brzegu pudełko, sprawdzamy czy aktualna wysokość całego pojemnika została przekroczona;

Jeśli TAK: nadpisujemy wysokość pojemnika

Krok 6)

Usuwanie ze zbioru pudełek do rozstawienia postawione pudełko, jeśli zbiór jest pusty STOP, w przeciwnym wypadku inkrementuj i modulo k oraz przejdź do Krok 4)

b. *Komentarz:*

Algorytm ten działa w czasie liniowym, nie stosujemy żadnego sortowania.

Może znaleźć zastosowanie w przypadku, gdy potrzebujemy bardzo szybkiego algorytmu i wycinamy pudełka z taniego materiału lub przestrzeń w naszym pojemniku jest bardzo tania.

c. *Wariacja algorytmu:*

Drugi naiwny algorytm dodatkowo będzie wykorzystywał sortowanie prostokątów z kroku 3) po wysokościach, zamiast wybierania kolejnego prostokąta w ciemno, będziemy wybierać prostokąt o najmniejszej wysokości, co ograniczy puste, niewykorzystane przestrzenie między pudełkami, przy nieco większej złożoności $n \cdot \log(k)$.

3. Algorytm półkowy (Shelf Algorithm)

a. *Działanie algorytmu:*

Krok 1)

Posortuj wszystkie pudełka w zbiorze nierosnąco według współrzędnej z .

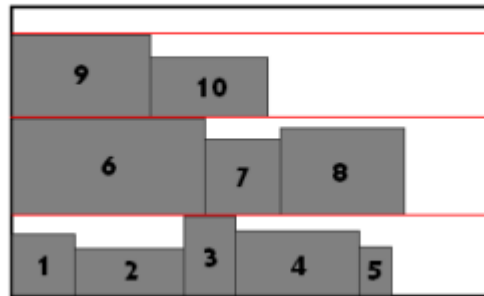
Krok 2)

Tworzymy półkę w płaszczyźnie Z o wysokości najwyższego w zbiorze

pudełek nieprzydzielonych. Półkę definiujemy jako płaszczyznę prostopadłą do osi Z, dzielącą zbiór A na dwa niepuste podzbiory pudełek w taki sposób, że owa płaszczyzna nie przecina żadnego pudełka.

Krok 3)

Po utworzeniu półki na osi Z, rozwiązujemy problem pakowania w 2D w obrębie płaszczyzny XY, odpowiednio dzieląc półkę Z na półki Y.

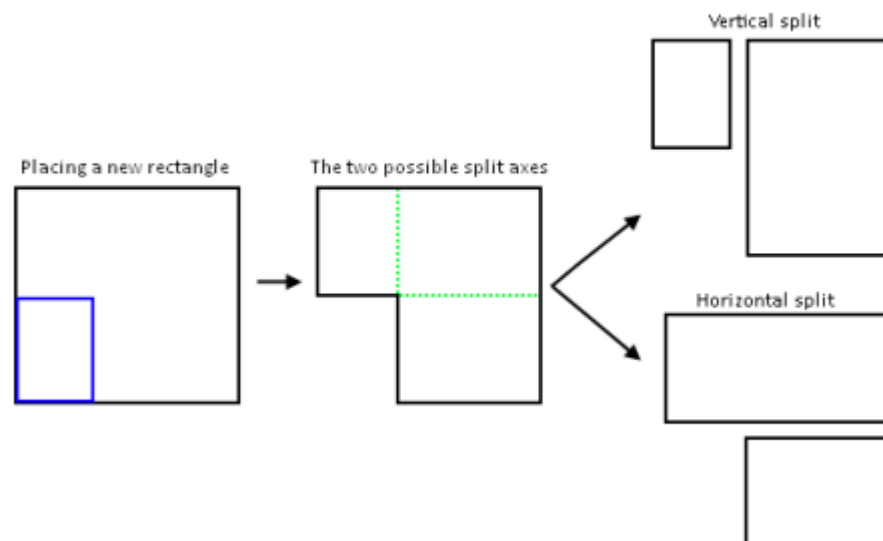


Krok 4)

W obrębie półki Y przechowujemy wolne miejsca zdefiniowane dwoma wierzchołkami, początkowym i końcowym

Krok 5) Jeśli pudełko jest pierwsze na nowej półce, ustawmy je poziomo, aby ograniczyć wysokość półki - h_s . Jeśli pudełko mieści się pionowo, tzn., że jego współrzędna y jest mniejsza od h_s to kładziemy je pionowo, w przeciwnym przypadku pudełko jest kładzone poziomo. W przypadku, gdy nie ma miejsca na obecnej półce nowa półka Y jest tworzona. Jeśli brakuje miejsca na nowe półki w płaszczyźnie XY tworzona jest nowa półka na osi Z.

Należy podjąć decyzję, który typ algorytmu półkowego zostanie zaimplementowany. Wykorzystamy Shelf Best Area Fit (SHELF-BAF), który będzie wybierał tę półkę, po której położeniu pudełka pozostała na półce niewykorzystana przestrzeń zostanie zminimalizowana. Po znalezieniu odpowiedniego miejsca dokonujemy operacji Horizontal Split.



4. Przeszukiwanie systematyczne

a. Działanie algorytmu:

Krok 1)

Jeśli wszystkie permutacje kolejności wprowadzania pudełek zostały sprawdzone STOP. W przeciwnym razie przejdź do kolejnej permutacji.

Krok 2)

Jeśli wszystkie permutacje ułożenia klocków zostały wykorzystane przejdź do Krok 1). W przeciwnym razie obróć klocek ustawienia klocków.

Krok 3)

BEGIN LOOP

Dla wszystkich pudełek:

Położ pudełko w najniższym położeniu dostępnym jednocześnie sprawdzając kolizje.

END LOOP

Jeśli permutacja dała lepszy wynik niż do tej pory zapisz obecne ułożenie pudełek w pojemniku.

Krok 4)

Idź do Krok 2)

5. Generacja danych

Testy będą przeprowadzone na jednej, kwadratowej podstawie pojemników $x = 1000$ oraz $y = 1000$. Rozmiary pudełek będą losowane rozkładem jednostajnym ciągłym od $a = 1$ do b dla każdej krawędzi oddzielnie, gdyż zależy nam na jak największej różnorodności rozmiarów pudełek. Testy zostaną przeprowadzone dla różnych wartości b , przykładowo równej 25%, 50%, 75% krawędzi podstawy pudełka.

Rozmiary zbiorów do testowania będą (w miarę możliwości) dobierane w taki sposób, aby pomiary trwały od kilkunastu sekund do kilku minut, aby wyniki były jak najbardziej miarodajne.

6. Testowanie

Każdy algorytm testowany będzie na identycznych wygenerowanych zbiorach danych. Otrzymane wyniki z pomiarów będą analizowane pod kątem:

a) Uzyskanej wysokości pojemnika (*precyzja*) – chcemy, aby wartość współrzędnej z pojemnika była jak najmniejsza. Im mniejsza wysokość, tym mniej wolnego, zmarnowanego miejsca pomiędzy pudełkami. Ponieważ każdy algorytm przyjmuje identyczny zbiór pudełek, posiadając uzyskaną wysokość możemy obliczyć miarodajny parametr określający jak dobrze algorytm się spisuje:

$$\frac{\sum_{i=1}^n a_i \cdot b_i \cdot c_i}{x \cdot y \cdot h} = \frac{\sum_{i=1}^n V_i}{V_p}$$

a_i, b_i, c_i - długości boków i -tego pudełka

V_i - objętość i -tego pudełka

n - całkowita liczba pudełek w zbiorze

x, y - wymiary podstawy pojemnika

h – wynikowa wysokość pojemnika

V_p – wynikowa objętość pojemnika

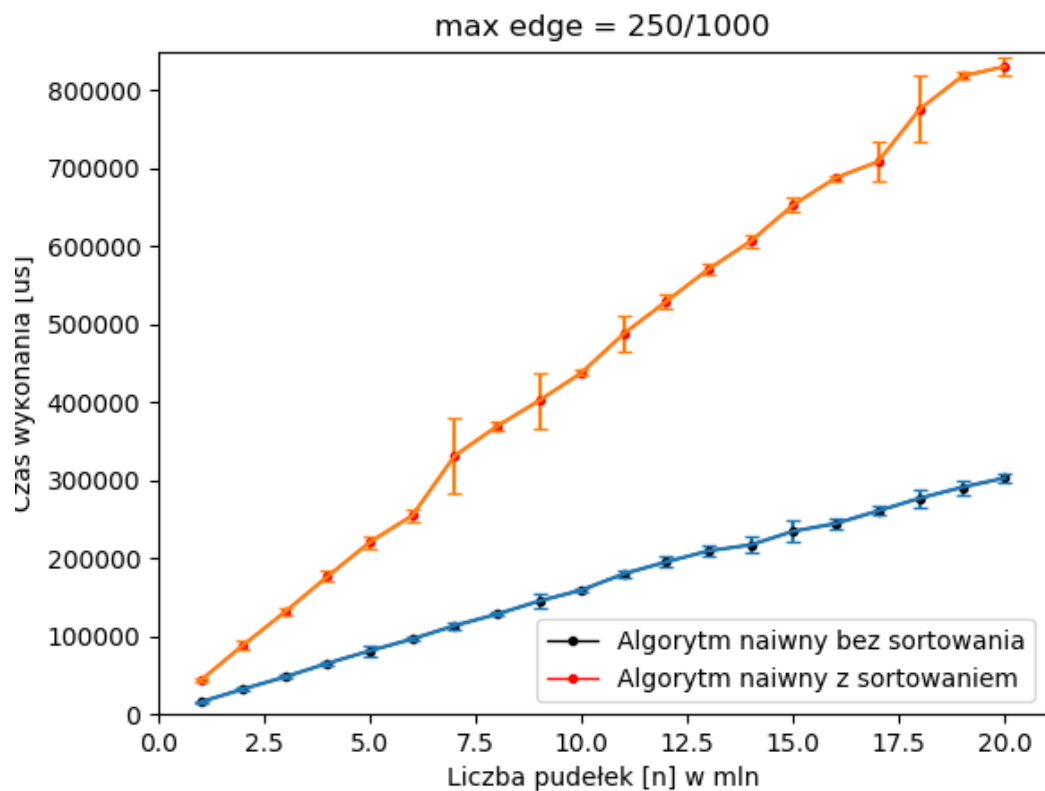
Parametr określa jaki procent objętości pojemnika jest wypełniony pudełkami.

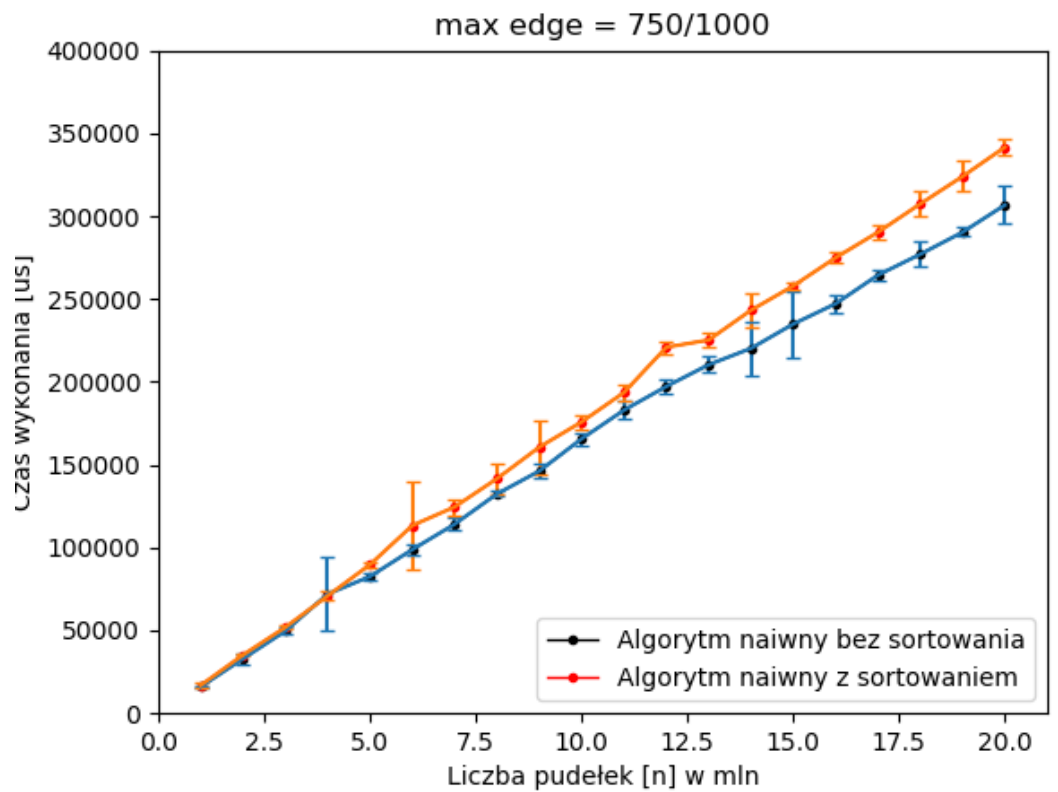
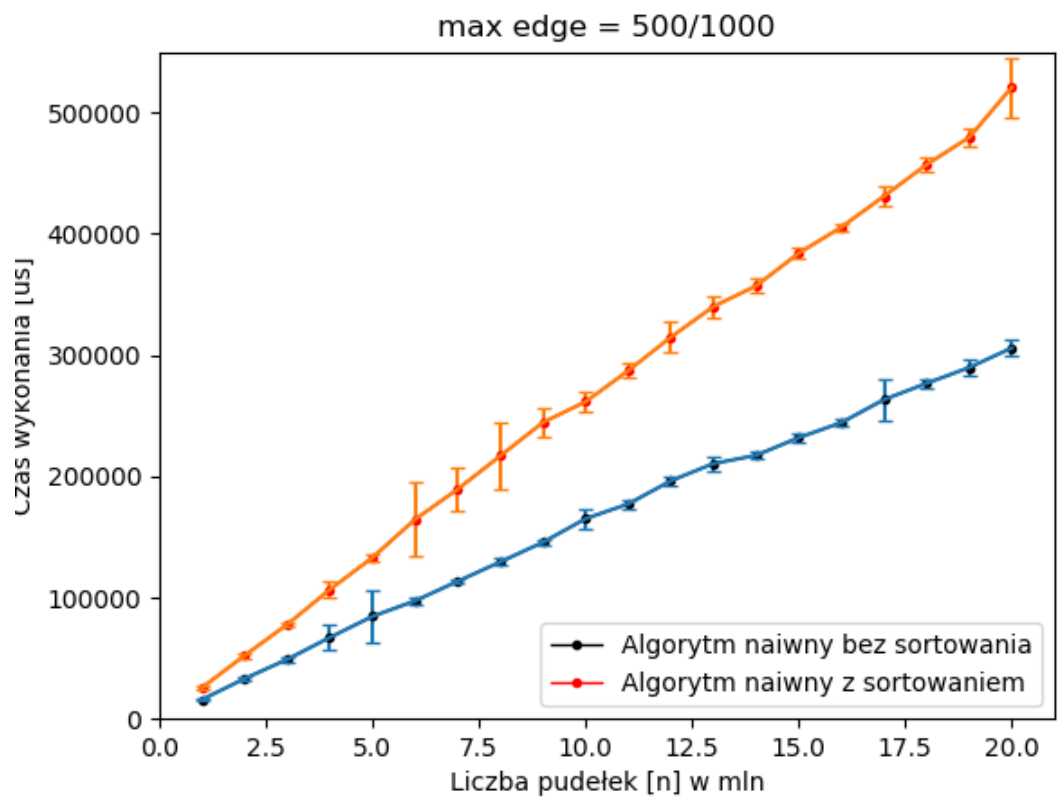
b) Czasu wykonania obliczeń – Im szybciej algorytm zakończy swoje działanie tym lepiej

Z powodu możliwej nieprzewidywalności wyników wynikającej z natury JVM, do testowania wykorzystana będzie biblioteka [JMH](#) oraz wszelkie zalecenia znajdujące się w artykule [Avoiding Benchmarking Pitfalls on the JVM](#).

Wyniki testów dla algorytmów naiwnych:

Porównanie czasowe dla trzech ustawień maksymalnych krawędzi pudełek.





Pomiary czasowe dla tych algorytmów były utrudnione ze względu na jego niską złożoność – bardzo krótki czas obliczeń. Przyjąłem następujące parametry do testów:

- Tryb testowania : single shot (1 iteracja = pomiar pojedynczego wykonania algorytmu)
- 10 iteracji do rozgrzania maszyny
- 5 iteracji właściwych, z obliczonym progiem błędu, które stanowią pojedynczy punkt pomiarowy

Na wykresie można zauważyć, że największy % błędu ukazuje się dla najmniejszej liczby pudełek co wynika z bardzo krótkiego czasu wykonania algorytmu, jednakże przy wszystkich pomiarach udało się uzyskać 15-18/20 punktów pomiarowych o błędzie <5%.

Niewrażliwość algorytmu na dane wynika z faktu, iż przyjęliśmy, że długości krawędzi pudełek są losowane po rozkładzie liniowym od 1 do <maksymalna długość krawędzi>, biorąc pod uwagę, że za każdym razem losujemy miliony pudełek przypadki testowe nie różnią się bardzo od siebie.

Do obliczeń $q(n)$ w tabeli poniżej był uwzględniony najbardziej pesymistyczny przypadek z 5 iteracji – krawędź 250/1000, algorytm bez sortowania.

| n | t(n)[us] | q(n) |
|----------|----------|--------------------|
| 1000000 | 15319 | 0.9670882346751962 |
| 2000000 | 29899 | 0.9437617053513183 |
| 3000000 | 45781 | 0.9633846089097452 |
| 4000000 | 63249 | 0.9982270995980724 |
| 5000000 | 74252 | 0.9375055238736558 |
| 6000000 | 94415 | 0.9934029166052903 |
| 7000000 | 108988 | 0.9829158236809591 |
| 8000000 | 126202 | 0.9958912901664527 |
| 9000000 | 136672 | 0.9586779178328177 |
| 10000000 | 157339 | 0.9932808653016562 |
| 11000000 | 175308 | 1.0061083042712218 |
| 12000000 | 188369 | 0.9909776730287663 |
| 13000000 | 203375 | 0.9876200481406601 |
| 14000000 | 207509 | 0.9357171415945431 |
| 15000000 | 221059 | 0.9303634182782349 |
| 16000000 | 238005 | 0.9390782496159593 |
| 17000000 | 254972 | 0.9468457907773281 |
| 18000000 | 265480 | 0.9310971289885875 |
| 19000000 | 282115 | 0.9373639798028351 |
| 20000000 | 297624 | 0.9394499274005177 |

Na pierwszy rzut oka możemy zauważyć, że potwierdziła się oczekiwana złożoność obliczeniowa = n . Każde kolejne pudełko kładzione jest w wydzielonym sektorze, a wraz z rosnącą liczbą pudełek zapotrzebowanie czasowe rośnie liniowo.

Kolejnym wnioskiem widocznym na wykresie jest to, że stała przy złożoności n w algorytmie ze znajdowaniem najniższego sektora jest zależna od ilości sektorów. Dla maksymalnej krawędzi = 250 mamy 16 sektorów, dla krawędzi = 500 mamy 4 sektory, a dla krawędzi = 750 tylko jeden sektor. Widać, że im większa liczba sektorów tym algorytm jest wolniejszy, ze względu na potrzebę znajdowania tego najniższego.

Pomiary precyzji algorytmu:

Z powodu bardzo wysokiej liczby pudełek przy testowaniu wyniki działania algorytmu są niemalże jednakowe dla wszystkich punktów pomiarowych:

| Algorytm – maksymalna krawędź | Precyzja |
|-------------------------------|------------------|
| Naiwny – 1/4 | 50.1% \pm 0.1% |
| Naiwny – 2/4 | 50.1% \pm 0.1% |
| Naiwny – 3/4 | 28.2% \pm 0.1% |
| Naiwny z sortowaniem – 1/4 | 50.2% \pm 0.1% |
| Naiwny z sortowaniem – 2/4 | 50.1% \pm 0.1% |
| Naiwny z sortowaniem – 3/4 | 28.2% \pm 0.1% |

Widać, że kluczowe znaczenie w algorytmach ma dopasowanie sektorów. Dla krawędzi 250 i 500 dopasowanie jest idealne – sektory pokrywają 100% podstawy pojemnika. W przypadku krawędzi 750 widać wyraźnie niższą precyzję, wynikającą z tego, że sektor pokrywa jedynie 9/16 powierzchni podstawy. Można więc uznać, że precyzja algorytmu jest wprost proporcjonalna do pokrycia podstawy pojemnika przez sektory. Kolejną obserwacją jest fakt, iż wybór najniższego sektora nie przynosi żadnych korzyści przy tak dużej ilości pudełek.

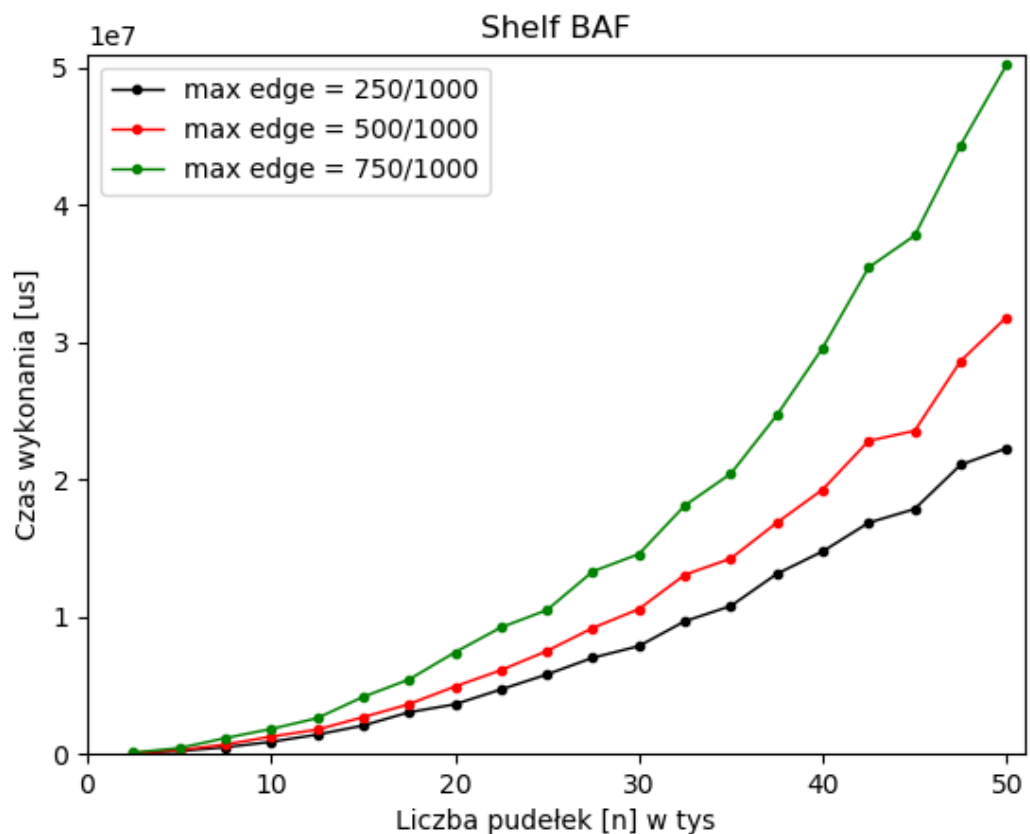
Testy algorytmu półkowego:

Niewrażliwość algorytmu na dane:

Przeprowadziłem szybki test w trybie single shot (1 iteracja = pomiar pojedynczego wykonania algorytmu) z 2 iteracjami rozgrzewkowymi oraz 10 właściwymi, losując nowe pudełka z każdą kolejną iteracją. Otrzymane wyniki:

```
Iteration 1: Shelf BAF solution---ACCURACY : 90.6267054734776---  
3098195,543 us/op  
Iteration 2: Shelf BAF solution---ACCURACY : 90.78382740488735---  
3092996,325 us/op  
Iteration 3: Shelf BAF solution---ACCURACY : 90.6447589199155---  
2988372,653 us/op  
Iteration 4: Shelf BAF solution---ACCURACY : 90.23383360808224---  
3053703,224 us/op  
Iteration 5: Shelf BAF solution---ACCURACY : 90.47191623128774---  
3041812,515 us/op  
Iteration 6: Shelf BAF solution---ACCURACY : 90.72411969826906---  
3030679,491 us/op  
Iteration 7: Shelf BAF solution---ACCURACY : 91.05868449663605---  
3040172,362 us/op  
Iteration 8: Shelf BAF solution---ACCURACY : 90.84518616406125---  
3037714,538 us/op  
Iteration 9: Shelf BAF solution---ACCURACY : 90.32995950636797---  
3096410,717 us/op  
Iteration 10: Shelf BAF solution---ACCURACY : 90.55996802855753---  
3047456,977 us/op
```

Pomiary wskazują, że różnice zarówno w pomiarze jak i w precyzji algorytmu są minimalne, więc postanowiłem założyć niewrażliwość algorytmu na dane i w dalszej fazie testować algorytm pojedynczymi iteracjami.



Przy pomiarach tego algorytmu ze względu na jego większą złożoność zostały przyjęte następujące parametry:

-Tryb testowania: single shot (1 iteracja = pomiar pojedynczego wykonania algorytmu)

-2 iteracje do rozgrzania maszyny

-1 iteracja właściwa stanowiąca pojedynczy punkt pomiarowy

| n | t(n)[ms] | q(n) |
|-------|-----------|--------------------|
| 2500 | 44.678 | 0.7705428061344455 |
| 5000 | 212.657 | 0.9169016155833564 |
| 7500 | 487.094 | 0.9334118646792396 |
| 10000 | 885.908 | 0.9549303296602274 |
| 12500 | 1413.026 | 0.9747947707425856 |
| 15000 | 2075.863 | 0.9944872825618055 |
| 17500 | 3041.612 | 1.0705594250615986 |
| 20000 | 3621.059 | 0.9757951910890108 |
| 22500 | 4704.861 | 1.0017626255727576 |
| 25000 | 5795.544 | 0.9995332684622519 |
| 27500 | 7018.589 | 1.0003857285435935 |
| 30000 | 7862.364 | 0.9416590845436051 |
| 32500 | 9676.595 | 0.9875040977141292 |
| 35000 | 10783.176 | 0.9488414941565548 |
| 37500 | 13125.018 | 1.0060520166808529 |
| 40000 | 14766.88 | 0.994836765390214 |
| 42500 | 16852.986 | 1.0057315254502013 |
| 45000 | 17851.107 | 0.9502178607242718 |

2 pierwsze punkty pomiarowe znacząco odbiegają od $q(n) = 1$, jednak możemy założyć, że wynika to z niedokładności pomiaru, wynikającej z krótkiego czasu wykonania algorytmu dla tej liczby pudełek.

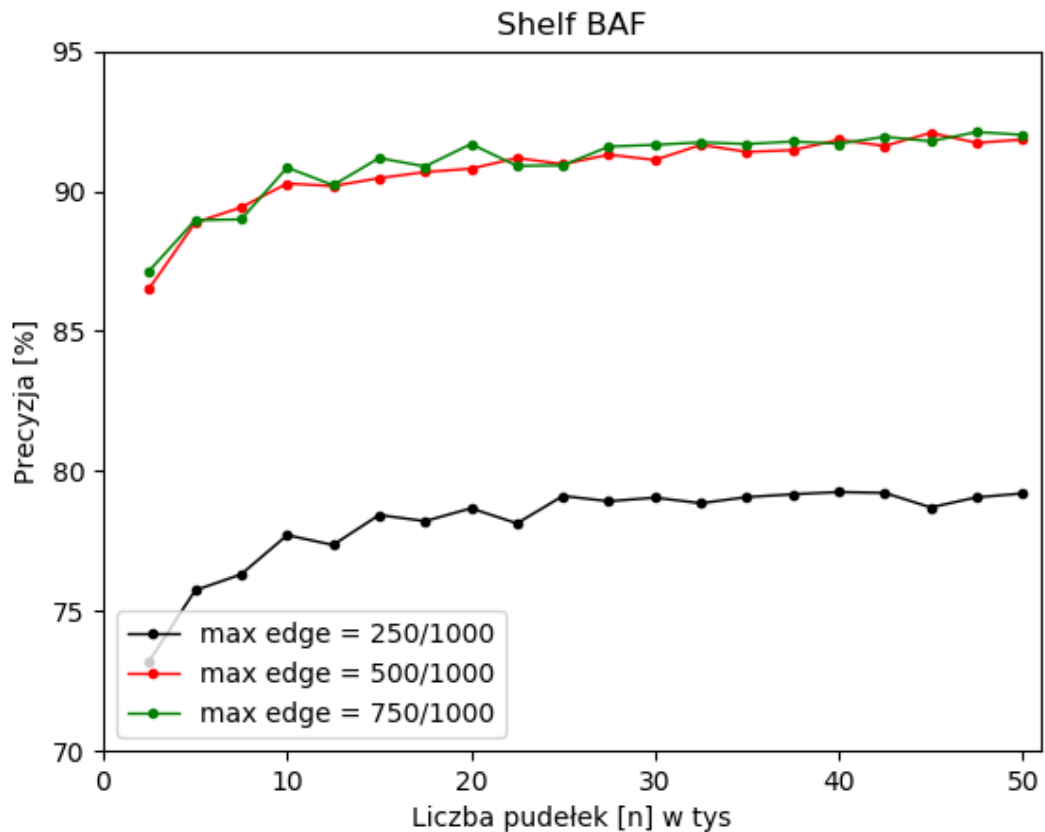
Przewidywana złożoność algorytmu została potwierdzona $= n^2$. Wynika ona z faktu, że przy każdym położeniu pudełka pojawiają się 2 nowe miejsca, które są sprawdzane przy położeniu następnego pudełka. Szacowana liczba sprawdzeń dla n pudełek wynosi:

$$\frac{(1 + n)}{2} \cdot n$$

Należy także zauważyć, że dla krótszych krawędzi stała przy złożoności n^2 jest mniejsza, co prawdopodobnie wynika z faktu, że w pojedynczej półce średnio zmieścimy więcej klocków i rzadziej jesteśmy zmuszeni wykonywać operację tworzenia kolejnych półek.

Złożoność mogłaby być znacząco obniżona, jeśli zdecydowalibyśmy się usuwać wolne miejsca poniżej określonego rozmiaru (nie przeglądać ich).

Wykres pomiarów precyzji algorytmu półkowego:



Precyzja jest zdecydowanie wyższa niż w przypadku algorytmów naiwnych, lecz odbywa się ona kosztem zdecydowanie większej złożoności. Zwiększona precyzja w przypadku pudełek o dłuższych krawędziach jest spowodowana mniejszą ilością operacji *split* wewnątrz półek Y. Operacja *split* powoduje, że dopasowanie kolejnych pudełek staje się mocno utrudnione, ponieważ nie rozpatrujemy pozostałego miejsca w całości, ale jako 2 oddzielne części. Ponadto, widać niewielki wzrost precyzji wraz ze wzrostem liczby pudełek, co jest spowodowane faktem, że przy większej liczbie pudełek prawdopodobieństwo, że niewielkie wolne przestrzenie między pudełkami zostaną wypełnione jest większe, ponieważ przeglądamy wszystkie dostępne wolne miejsca przy kładzeniu pudełka wewnątrz pojemnika, zanim otworzymy kolejną półkę.

7. Testy przeszukiwania systematycznego:

W przypadku tego algorytmu mierzymy się z wyjątkowo wysoką złożonością:

$$n! 6^n$$

Niestety złożoność algorytmu pozwala mi na zbadanie go jedynie dla wartości n do $n = 6$. Lepsze rezultaty możliwe by były do uzyskania w przypadku zoptymalizowania funkcji *next_orientation()*, która wyznacza kolejne możliwe ułożenie pudełka – pomimo tego że $n!$ jest dominujący w asymptotyce, dla tak niskich n zdecydowanie większy wpływ będzie miał człon 6^n , który jest liczbą wszystkich możliwych ułożeń pudełek dla pojedynczej permutacji kolejności.

Przyjęte parametry testowania:

- Tryb single shot
- 2 iteracja rozgrzewkowa
- 3 iteracje właściwe
- losowanie nowych pudełek za każdą kolejną iteracją

Do pomiaru czasu wybierany jest czas najwolniejszy z trzech przeprowadzonych pomiarów.

Ze względu na bardzo małą liczbę pudełek pomiary są przeprowadzane dla maksymalnych krawędzi = 800 oraz 1000.

| n | max=800 t(n)[us] | q(n) |
|---|------------------|--------------------|
| 3 | 907 | 1.4106550437427487 |
| 4 | 18432 | 1.1944686588692734 |
| 5 | 459933 | 0.9935177113710242 |
| 6 | 20788187 | 1.2473696030963495 |

| n | max=1000 t(n)[us] | q(n) |
|---|-------------------|--------------------|
| 3 | 970 | 1.4627324282801422 |
| 4 | 16718 | 1.0504278666661262 |
| 5 | 476660 | 0.9983190711111292 |
| 6 | 20702266 | 1.2044146866282226 |

Uwzględniając jak mało jest punktów pomiarowych wyniki można uznać za satysfakcjonujące. Złożoność jest na poziomie $\sim n! 6^n$ dla badanych n.

8. Porównanie precyzji algorytmów:

Na koniec przeprowadziłem proste porównanie działania algorytmów, które pozwoliłoby w lepszy sposób zobrazować skuteczność przeszukiwania systematycznego.

10-krotny pomiar precyzji, za każdym razem wykonany dla innych danych przez 3 algorytmy: naiwny, półkowy oraz systematycznego przeszukiwania dla pudełek $n = 5$. Maksymalna krawędź pudełka wynosi 1000/1000, tak aby pomiary jak najlepiej oddały działanie algorytmu przeszukiwania systematycznego.

| Algorytm | Średnia precyzja dla 10 pomiarów (n=5) |
|------------------------------|--|
| Naiwny | 44.86% |
| Półkowy | 58.54% |
| Systematyczne przeszukiwanie | 67.60% |

Przy każdym pomiarze algorytm systematycznego przeszukiwania uzyskiwał lepszy bądź taki sam rezultat jak pozostałe algorytmy.

9. Podsumowanie wyników:

Najlepsze rezultaty pod względem precyzji, zapewni nam przeszukiwanie systematyczne, jednak przeszukiwanie wszystkich możliwości bez zastosowania żadnej heurystyki jest zbyt czasochłonne, żeby mogło mieć jakiegokolwiek zastosowanie w świecie rzeczywistym. Algorytmy naiwne, natomiast przy odpowiednio dopasowanych sektorach są w stanie zapewnić precyzję w granicach 50%, natomiast wynik otrzymujemy natychmiastowo. Mogłoby to mieć zastosowanie w przypadku wycinki z bardzo taniego materiału, gdzie nie mamy czasu na obliczenia. Algorytm półkowy w wersji ze znajdowaniem najlepszych miejsc wydaje się najbardziej użytecznym algorytmem, ponieważ zapewnia wysoką precyzję przy umiarkowanej złożoności (kilkanaście tysięcy pudełek w kilka sekund).

Należy pamiętać, że zaimplementowane algorytmy i przeprowadzone testy są tylko kroplą w morzu problemu plecakowego oraz wyciągnięte tutaj wnioski są właściwe jedynie dla początkowo przyjętych założeń.

10. Wizualizacja danych

Prosta wizualizacja z wykorzystaniem biblioteki JavaFX. Możliwość obejrzenia jak poszczególne pudełka zostały rozmieszczone w pojemniku za pomocą ruchomej kamery.

